

ダム 流量係数について

山口大学工学部 正 竜巣 隆
面日本工業大学 正 司 信義

堤頂を越流する流れの研究はダムの設計管理等に重要な指針を与えるものであつて、特に流量係数の推定は洪水時の放流量の適正制御及び水資源の有効利用という面において重要であり、從来より多くの人々によって研究されてきた。又、今日ほとんどのすべてのダムについてその水理性能を明らかにするため模型実験を行うことが一般化している。ダムの水理模型実験では力学的相似条件としてフルードの相似則が適用されることは周知の通りであるが、越流水頭が小さなとき、流線軌道を同心円として二次元ポテンシャル運動の理論による解析値とは実験値が一致せず、相似則に疑問が持たれていた。しかし著者らの解析によれば速度欠損をもたらす底面摩擦による境界層の発達を考慮することと模型実験結果を十分に説明することができ、実際に流れでは上述の解析法で十分であることを示しておいた。又、越流水頭が設計水頭より大きくなるとき、上述の同心円流れとした解析法ではやはり実験値を説明することができず、計算値が実験値を大きく上回る。これで、越流水頭が大きい時水面勾配も大きくなるが、水面勾配の大きさ、流れを同心円流れとして取り扱うことによるものである。石井・藤本はこうした水面勾配の効果を考慮して同心円流れとすることの修正法を示しているが、流量係数、水面形状、速度分布を一括して数値的に解析して割合みあたらる。

図1は越流水頭の大きい時の流れの概略を示したものである。底面に垂直な流線軸上(γ軸上)では流線勾配が異なるため、遠心力作用方向は一定ではなく、水表面に近づく程γ軸との角度は大きくなる。今、γ軸上の流線勾配及び曲率半径をγの函数として $\tan \gamma_s$, r_y で表わすと、γ方向の運動方程式は次式となる。

$$\frac{1}{\rho} \frac{\partial P}{\partial y} = \frac{V^2}{r_y} \cos \gamma_s - g \cos \theta \quad \dots (1)$$

上式とベルヌーイの定理より圧力項を消去すると次式が導かれる。

$$\frac{V}{r_y} \cos \gamma_s + \frac{\partial V}{\partial y} = 0 \quad \dots (2)$$

流線勾配 $\tan \gamma_s$, 曲率半径 r_y の実数形を定めると、Nikashaw流れによる実験結果を導入する。(Nikashawモデルによて越流水を検討することは若干問題があるが、観察された水面形状が二次元模型実験結果とほとんど一致していることから、流線軌道も同様に一致しているものと考える。)曲率半径の分布: 二次曲線分布である、図2中に一束鎮線を示す。

$$\frac{r_y - r_b}{r_s - r_b} = 0.71 \left(\frac{y}{h} \right)^2 + 0.29 \left(\frac{y}{h} \right) \quad \dots (3)$$

流線勾配の分布: 直線分布

$$\tan \gamma_s = \tan \gamma_s \left(\frac{y}{h} \right) \quad \dots (4)$$

$\gamma_s = k$, r_b は底面曲率半径, r_s は水表面曲率半径, $\tan \gamma_s$ は

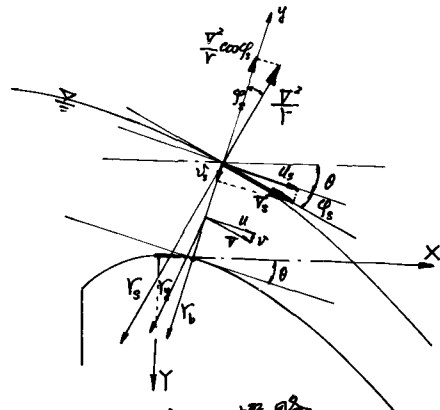


図-1 流れの概略

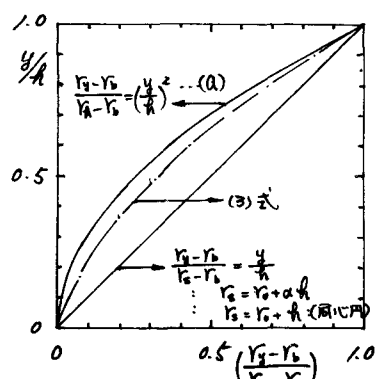


図-2 底面内曲率半径

水表面勾配である。この(3), (4)式を(2)式に代入し、若干の計算の後、底面の摩擦方向の速度分布は次式と導かれる。

$$\frac{U}{V_s} = \frac{1}{\sqrt{1 + \tan^2 \varphi_s \cdot E^2}} \cdot \exp \left(- \frac{1}{E} \cdot C_1 \cdot P_1 \right) \quad ? = \gamma/h, E_0 \text{は設計水頭}$$

$$P_1 = \frac{C_2}{2A} \ln \left| \frac{A+B+D}{A\gamma^2+B\gamma+D} \right| + \frac{2AC_3-C_2B}{C_2 \cdot A} \cdot \tan^{-1} \frac{2A \cdot C_2 \cdot (1-\gamma)}{C_2^2 + (2A+B)(2A\gamma+B)}$$

$$+ \frac{C_4}{2E_1} \ln \frac{2+E_1}{2+E_1\gamma^2} + \frac{C_5}{\sqrt{2E_1}} \tan^{-1} \frac{\sqrt{2E_1} \cdot (1-\gamma)}{2+E_1\gamma}$$

$$\therefore V_s, A = 0.71 \cdot (Y_s - Y_b) / E_0, B = 0.29 \cdot (Y_s - Y_b) / E_0, D = Y_b / E_0, E = \tan^2 \varphi_s$$

$$C_1 = 1.0 / \{ 2B^2 E + (2A - DE)^2 \}, C_2 = A \cdot B, C_3 = B^2 E + A \cdot (2A - DE)$$

$$C_4 = -BE^2, C_5 = DE^2 - 2AE, C_6 = \sqrt{4AD - B^2}$$

$$\therefore \text{とき流量は次式として求められる。} \quad \frac{Q}{\sqrt{2gE_0^3}} = \frac{V_s}{\sqrt{2gE_0}} \cdot \frac{1}{E_0} \cdot \int_0^1 \frac{U}{V_s} \cdot d\gamma \quad \cdots (6)$$

$Y_b, Y_s, \tan \varphi_s$ を既知であれば、この流量関係式を用いて、支配断面の位置による流量、水面形状等を解析できるが、一般にダム直奥は二曲線の場合多い、曲率半径は不連続である。特に標準型形状の場合、ダム直曲率半径はひととおり、ダム直上流側曲率半径と著しく異り、ダム直の曲率半径を想定できない。このため越流水流を同心円流水で近似する従来の解析法をも通用することができる。底面近傍の流線は何らかの單一な連続曲線と考えらるることから、ダム直前面 $X/E_0 = -0.1$ ($Y_b/E_0 = 0.5$) よりダム直下流側 $X/E_0 = 0.2$ の区间において曲率半径沿いの変化を、その区间の前後で滑らかに接続するよう、三次曲線で近似する。又、 Y_s と $\tan \varphi_s$ は三次曲線近似した Y_b を同心円流水として従来の解析法に導入して求められる水面形状が、実験値にはば近いことから、その水面形状を三次曲線近似して求めろ。こうして求められた Y_b や Y_s 、 $\tan \varphi_s$ を流量関係式(5), (6)に代入して、解析を行なうものである。図3中 Kの印線で結果を示した。図中、荒木、藤本の推定式はラニドルフ形状Kのとおり、又岩崎の式はハロルド形状Kのとおり検討した結果である。著者らの解析結果はラニドルフ形状Kのとおりで、藤本の式と一致してある。又、図中の△印線は上述の底面曲率半径 Y_b を使用して同心円流れとしたときの解析結果である。水表面勾配の結果を無視したことにより、大きな値を示してある。なお、上述の速度分布形は複雑であるため図2中の(a)式で示す曲率半径の分布を仮定したときの速度分布を導いたものが式(7)である。この速度分布による解析結果を図3中にX印線で示した。

$$\frac{U}{V_s} = \frac{1}{\sqrt{1+C^2\gamma^2}} \exp \left[\frac{-2\gamma Y_b}{2b-ac^2} \cdot \left\{ \sqrt{\frac{b}{a}} \tan^{-1} \frac{\sqrt{ab}(1-\gamma)}{a+b\gamma} - \frac{c}{\sqrt{2}} \tan^{-1} \frac{\sqrt{2c} \cdot c(1-\gamma)}{2+c^2\gamma} \right\} \right] \quad a = Y_b/E_0, \quad \cdots (7)$$

$$b = (Y_s - Y_b)/E_0, c = \tan \varphi_s$$

参考文献：5.56年6月四日支那年報：ハドー流れにおける地下越流ダム直付近の流れについて

5.55年6月全日本年報：ダム直付近の流れの水理特性について、山本研究報告16/31-1